

ЖЕЛЕЗНОДОРОЖНЫЙ ПУТЬ И ТРАНСПОРТНОЕ СТРОИТЕЛЬСТВО

УДК 624.042.12

*В.М. Круглов, В.Э. Юрченко***ОБ ОДНОМ ПОДХОДЕ В ПОСТРОЕНИИ ОСНОВНЫХ ФИЗИЧЕСКИХ СООТНОШЕНИЙ БЕТОНА В ПЛОСКОМ НАПРЯЖЕННОМ СОСТОЯНИИ****Введение**

Неоднородность строения бетона определяет анизотропию его механических свойств – материал в разной степени сопротивляется растягивающим и сжимающим нагрузкам. Кроме того, неоднородность строения является причиной нелинейности зависимостей напряжений от деформаций для бетона, особенно при высоких уровнях напряжений.

В настоящей статье рассмотрен способ получения основных физических соотношений для бетона, находящегося в плоском напряжённом состоянии, который приводит к инвариантному решению задачи для тяжёлых бетонов разной прочности.

1 Общие сведения

Система уравнений в механике деформируемого твёрдого тела включает три группы формул [1–3] – три уравнения равновесия бесконечно малого объёма, шесть уравнений связи между перемещениями и деформациями и шесть уравнений, связывающих напряжения и деформации (основные физические соотношения). Первые девять уравнений являются математически строгими. Ошибка, вызванная их линеаризацией, возникает при больших перемещениях и поворотах, что не является характерным для большинства строительных конструкций. Использование линейных зависимостей между напряжениями и деформациями вносит наибольшую погрешность в оценку напряжённого и деформированного состояния конструкций, изготовленных из материалов, обладающих свойствами нелинейно деформируемых тел. В этой связи чем правильнее отражают определяющие соотношения физический закон, по которому материал сопротивляется различным видам деформаций, тем меньшая погрешность будет допущена в оценке напряжённо-деформированного состояния конструкций.

При исследовании прочности бетона [3] определено особое влияние параметра Лоде – Надаи по напряжениям μ_σ , характеризующего вид напряжённого состояния материала. Такую же роль будет играть и параметр Лоде – Надаи по деформациям μ_ε , если предельная поверхность строится на основе тензора деформаций.

Зависимости между напряжениями и деформациями, отражающие процесс нагружения, должны строиться так, чтобы предельные величины напряжений, определяемые этими зависимостями, принадлежали предельной поверхности прочного сопротивления. В этом случае параметры μ_σ и μ_ε также должны быть включены в такие зависимости.

2 Построение основных физических соотношений для бетона

Предложения для построения основных физических соотношений для бетона, находящегося в трёхосном напряжённом состоянии, основанные на полном решении уравнений [3], позволяют получить в виде частных решений зависимости между напряжениями и деформациями для плоского и одноосного напряжённого состояний. Для этой цели следует иметь опытные данные сложнейших экспериментов.

Однако особый характер напряжённо-деформированного состояния плоских конструкций позволяет отказаться от использования соотношений деформационной теории пластичности для объёмного напряжённого состояния и получить простые основные физические соотношения.

В работе [3] показано, что вид напряжённого состояния μ_σ для плоского напряженного состояния однозначно определяется соотношением:

$$\xi = \sigma_0 / \varepsilon_0, \quad (1)$$

где σ_0 – среднее нормальное напряжение;

τ_0 – октаэдрическое касательное напряжение.

С соотношением (1) удобнее работать, так как для каждого вида напряжённого состояния оно сохраняет постоянное значение, а именно: при одноосном равномерном растяжении $\xi = \sqrt{2}/2$, чистом сдвиге $\xi = 0$, одноосном сжатии $\xi = -\sqrt{2}/2$ и т.д. Тогда компоненты главных напряжений σ_1 и σ_2 , выраженные через параметры ξ и τ_0 , можно определить по формуле:

$$\sigma_{1,2} = \frac{\sqrt{3}}{2} \tau_0 \left(3\sqrt{3} \pm \sqrt{2 - \xi^2} \right) \quad (2)$$

Параметром, аналогичным ξ в характеристике вида деформированного состояния плоских конструкций будет отношение $\zeta = \varepsilon_0 / \gamma_0$. Тогда для линейно-упругого тела будет выполняться условие:

$$(3K_0\zeta)(G_0\xi)^{-1} = 1, \quad (3)$$

где K_0 – начальный объёмный модуль упругости;

G_0 – начальный модуль сдвига.

Это условие соответствует основному закону в классической механике деформируемого твёрдого тела [1] – закону пропорциональности девиатора напряжений девиатору деформаций в упругом трехмерном пространстве:

$$\sigma_{ij} - \delta_{ij}\sigma_0 = 2 \frac{\tau_0}{\gamma_0} (\varepsilon_{ij} - \delta_{ij}\varepsilon_0), \quad (4)$$

где $ij = 11, 22, 33, 12, 13, 23$;

δ_{ij} – символ Кронекера ($\delta_{ij} = 1$ при $i = j$, $\delta_{ij} = 0$ при $i \neq j$);

σ_{ij} – тензор напряжений;

ε_{ij} – тензор деформаций.

Для плоского напряжённого состояния оно определяет коллинеарность векторов τ_0 и γ_0 при отсутствии деформаций или их чрезвычайной малости в третьем направлении (ортогональном к плоскости).

Наличие же третьей компоненты деформаций ε_{33} приводит к плоскому обобщенно-деформированному состоянию и может оказаться решающим в развитии пластических деформаций, нарушении сплошности и разрушении бетона при двухосном сжатии (точнее, при величинах $\sigma_0 < 0$) плоских железобетонных конструкций. В области растягивающих напряжений и чистого сдвига $\sigma_0 \geq 0$ величиной нормальной деформации ε_{33} в силу её незначительности (по сравнению с областью сжатия по крайней мере на порядок) можно пренебречь. Очевидно, что появление третьей нормальной деформации приведет к нарушению условия (3), так как между векторами τ_0 и γ_0 возникнет угол ω (сдвиг фаз), определяемый разностью углов вида напряжённого состояния Ψ_σ и углом вида деформированного состояния Ψ_ε . При этом для простого нагружения отношение $\xi = \sigma_0 / \varepsilon_0$ постоянно, а величина $\zeta = \varepsilon_0 / \gamma_0$ является переменной. Тем не менее для плоского напряжённого состояния мерой отклонения векторов τ_0 и γ_0 друг от друга в девиаторной плоскости (неколлинеарности векторов) будет служить отношение $(\varepsilon_0 / \gamma_0) \left((\xi G_0) / (3K_0) \right)^{-1} \neq 1$ или некоторое обобщённое уравнение:

$$\eta = (\varepsilon_0 / \gamma_0) \left((\xi G_0) / (3K_0) \right)^{-1} = f(\xi, \sigma_{ij}) = f_1(\xi, \bar{\sigma}_0, \sigma_0). \quad (5)$$

Функция η характеризует не только сдвиг фаз между векторами τ_0 и γ_0 , но и служит мерой развития пластических деформаций в материале. Введение функции (5) позволяет представить уравнения, связывающие октаэдрические величины напряжений и деформаций $\sigma_0 - \varepsilon_0$ и $\tau_0 - \gamma_0$, в отличие от [3, формула 3.4] в виде:

$$\varepsilon_0 = \eta \psi \frac{\sigma_0}{3K_0}, \quad (6)$$

$$\gamma_0 = \psi \frac{\tau_0}{G_0}. \quad (7)$$

Здесь параметр ψ определяет развитие пластических деформаций между девиаторными частями τ_0 и γ_0 . Безусловно, его влияние вместе со сдвигом фаз сказывается и на объёмной деформации.

Тогда зависимости между напряжениями и деформациями могут быть представлены в виде известных формул закона Гука:

$$\varepsilon_{11} = (\sigma_{11} - \mu^* \cdot \sigma_{22}) / E^*; \varepsilon_{12} = (2(1 + \mu^*)\sigma_{12}) / E^* \text{ и т.д.}, \quad (8)$$

где величины E^* и μ^* являются переменными упругими параметрами и определяются по формулам

$$E^* = \frac{3E_0}{\psi(\eta(1-2\mu_0) + 2(1+\mu_0))}, \quad (9)$$

$$\mu^* = \left(1 - \frac{(1-2\mu_0)\eta}{1+\mu_0}\right) \left(2 + \frac{(1-2\mu_0)\eta}{1+\mu_0}\right)^{-1}. \quad (10)$$

Задачи деформационной теории пластичности бетона, находящегося в плоском напряжённом состоянии, сводятся к последовательному решению линейных задач с переменными параметрами упругости E^* и μ^* .

При необходимости определения компоненты ε_{33} можно воспользоваться выражением

$$\varepsilon_{33} = \frac{\psi[(1-2\mu_0)\eta - (1+\mu_0)](\sigma_{11} + \sigma_{22})}{3E_0}. \quad (11)$$

В случае применения шаговых алгоритмов зависимости между приращениями компонент деформаций (ε_{ij}) и приращениями компонент напряжений (σ_{ij}) могут быть записаны в виде, подобном выражениям (8).

При этом упругие параметры, отвечающие каждому шагу нагружения, определяются по формулам:

$$\begin{cases} E_k^* = \frac{3E_0(\eta'\psi + \psi'\eta)\psi'}{(1-2\mu_0)\psi'\varphi_1 + 2 \times (1+\mu_0)(\eta'\psi + \psi'\eta)\psi_1}; \\ \mu_k^* = \frac{(1 - (1-2\mu_0)\psi'\varphi_1)[(\eta'\psi + \psi'\eta)\psi_1(1+\mu_0)]^{-1}}{(2 + (1-2\mu_0)\psi'\varphi_1)[(\eta'\psi + \psi'\eta)\psi_1(1+\mu_0)]^{-1}}. \end{cases} \quad (12)$$

В формулах (12) φ_1 и ψ_1 – параметры, учитывающие погрешность шаговой линейризации для законов $\sigma_0 - \varepsilon_0$ и $\tau_0 - \gamma_0$.

Выбор уравнений для функций ψ и η , характеризующих развитие нелинейных деформаций в бетоне, находящемся в условиях плоского напряжённого состояния, основывается на следующих гипотезах и предположениях:

- относительное изменение объёма ε_0 является непрерывной нелинейной функцией среднего напряжения σ_0 и вида напряжённого состояния ξ ;
- сдвиг на октаэдрических площадках γ_0 является непрерывной нелинейной функцией октаэдрического касательного напряжения τ_0 и вида напряжённого состояния ξ ;
- основные физические соотношения в начальной точке деформирования должны соответствовать формулам теории линейной упругости;
- обеспечивается возможность непосредственного перехода в предельном состоянии от кривых деформирования к условию прочности бетона.

Рассматривая развитие объёмных нелинейных деформаций (рис. 1, а) в зависимости от относительного уровня $\sigma_0^* = \sigma_0 \times \bar{\sigma}_0^{-1}$ (здесь $\bar{\sigma}_0$ – предельное значение σ_0), параметра ξ для бетонов разной прочности (В20 ... В70), по данным экспериментальных исследований [4–6] можно выделить такие характерные отличия кривой $\sigma_0 - \varepsilon_0$. При низких уровнях σ_0^* ($\sigma_0 < 0$) кривая близка к линейной зависимости. Для больших значений σ_0^* прослеживается существенная нелинейность, причём до уровня $\sigma_0^* = k_T^0 = 0,7 \dots 0,8$ кривая выпукла, а выше него до $\sigma_0^* = 1/k_T^v$ ($k_T^v \geq 1$) вогнута. Можно считать, что вблизи $\sigma_0^* = k_T^0 = 0,7 \dots 0,8$ находится точка образования микротрещин [5, 6], а уровню $\sigma_0^* = 1/k_T^v$ соответствует образование макротрещин. Этап деформирования, связанный с развитием дилатации бетонных образцов, позволяет отметить, что максимальное значение октаэдрическое нормальное напряжение достигает в точке пересечения кривой $\sigma_0 - \varepsilon_0$ и прямой $\sigma_0 = 3K_0\varepsilon_0$. При напряжениях $\sigma_0 > 0$ кривую $\sigma_0 - \varepsilon_0$ отличает слабая нелинейность. Для этой области характерным является совпадение границ микро- и макротрещинообразования.

Зависимостям $\tau_0 - \gamma_0$ (рис. 1, б) в области растягивающих напряжений и чистого сдвига ($\sigma_0 \geq 0$) отвечает слабая нелинейность, а максимальным деформациям соответствует образование макротрещин. При значениях $\sigma_0 < 0$ кривые $\tau_0 - \gamma_0$ существенно нелинейны, а предельные деформации превышают деформации макротрещинообразования.

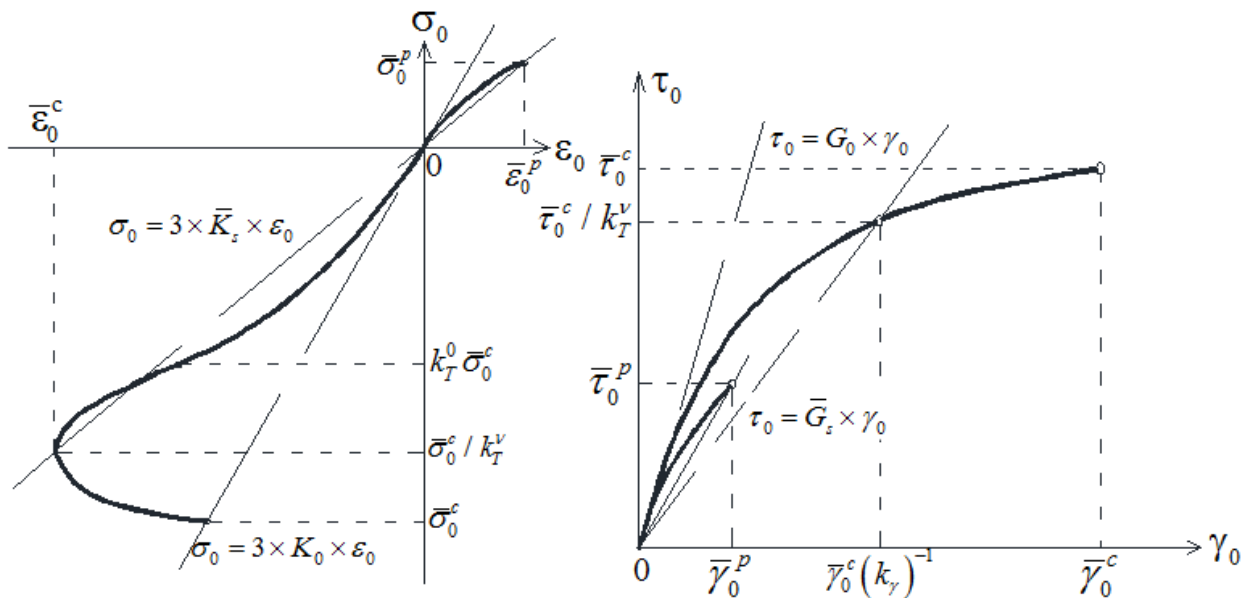


Рис. 1. Общий вид зависимостей $\sigma_0 - \varepsilon_0$ и $\tau_0 - \gamma_0$:

а – зависимость $\sigma_0 - \varepsilon_0$; б – зависимость $\tau_0 - \gamma_0$

В качестве аналитического выражения параметра η примем функцию вида

$$\eta = 1 - (1 - \bar{\eta}) \left(\sigma_0 (\bar{\sigma}_0)^{-1} \right)^k \quad (13)$$

Постоянную k определим из предположения близости величины η к единице в области нижней границы микротрещинообразования, характеризуемой $\sigma_0^* = k_T^0 = 0,7 \dots 0,8$ [5, 6]. Тогда имеем

$$K \approx -21/\xi. \quad (14)$$

Значение $\bar{\eta}$ можно определить по формуле

$$\bar{\eta} = 1 - \left(1 - \frac{\sqrt{2}R_b}{3G_0\bar{\gamma}_{0c}} \right) \left(\frac{3\bar{\tau}_0}{\sqrt{2}R_b} \right)^m. \quad (15)$$

Теоретически кривые, полученные по выражению (8) и соответствующие различным значениям ξ , приведены на рис. 2. Здесь же изображены экспериментальные точки, полученные по опытным данным Х. Купфера.

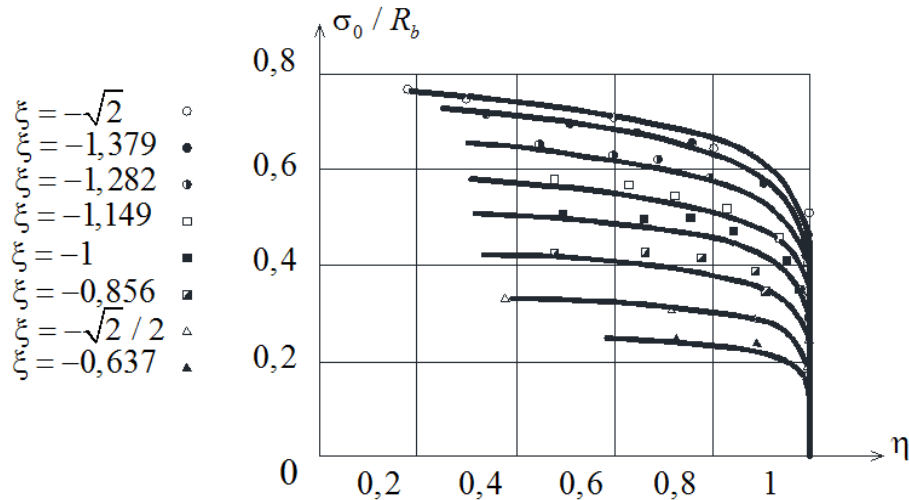


Рис. 2. Теоретические кривые функции η в сравнении с экспериментальными данными Х. Купфера [6]

В формуле (15) величина $\bar{\gamma}_{0c}$ соответствует предельному сдвигу на октаэдрических площадках при одноосном сжатии, т.е. при $\bar{\tau}_0(R_b)^{-1} = \sqrt{2}/3$. Константа m может быть определена в предположении выполнения при двухосном сжатии условия

$$\bar{\gamma}_0 = -3\xi\bar{\tau}_0(R_b)^{-1}\gamma_{0c}. \quad (16)$$

Тогда, учитывая, что при двухосном равномерном сжатии $\xi = -\sqrt{2}$, а $\bar{\tau}_0(R_b) = \sqrt{2}R_{2c}(3R_b)^{-1}$, получим

$$m = \ln \left(\left(\frac{3\sqrt{2}G_0\bar{\gamma}_{0c}}{R_b} - 1 \right) \left(\frac{3\sqrt{2}G_0\bar{\gamma}_{0c}}{R_b} - 2 \right) \right) \left(\ln \left(R_{2c}(R_b)^{-1} \right) \right)^{-1}. \quad (17)$$

В области растягивающих напряжений при $\sigma_0 > 0$ значения η принимаются равными единице.

В проведённых исследованиях [3] показано, что для аналитического выражения функции пластичности Ψ в зависимости от инвариантов $\tau_0 - \gamma_0$ целесообразно использовать формулу В.В. Соколовского. Тогда получим

$$\Psi = \left[1 + \tau_0^2 (\bar{\gamma}_0^2 G_0^2)^{-1} - \left(\tau_0 (\bar{\tau}_0)^{-1} \right)^2 \right]^{-0,5}, \quad (18)$$

где $\bar{\gamma}_0$ – сдвиг на октаэдрических площадках, отвечающий предельному значению октаэдрического напряжения ($\bar{\tau}_0$).

Если учесть, что объёмные деформации в момент разрушения (при $\sigma_0 < 0$) по опытам многих исследователей близки к значениям $\bar{\epsilon}_0 = \bar{\sigma}_0(3K_0)^{-1}$, то, введя величину $\bar{\eta}$, характеризующую значение функции (5) при предельном напряжении $\bar{\sigma}_0$, можно записать

$$\bar{\gamma}_0 = \bar{\tau}_0(G_0\bar{\eta})^{-1}. \quad (19)$$

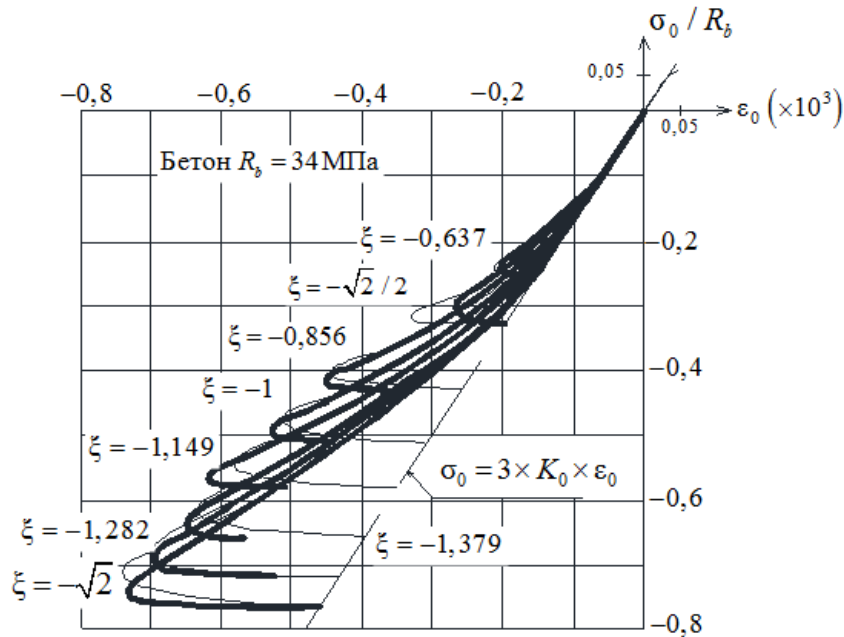
Окончательно аналитическое выражение (18) для параметра Ψ , характеризующего развитие неупругих деформаций в зависимости $\tau_0 - \gamma_0$, будет представлено в виде

$$\Psi = \left[1 + (\bar{\eta}^2 - 1) (\tau_0(\bar{\tau}_0))^2 \right]^{-0.5}. \quad (20)$$

Величины предельных октаэдрических деформаций $\bar{\gamma}_0$, входящие в уравнение (18), для определения Ψ в зонах «растяжение – сжатие» одноосного и двухосного сжатия определяются соотношением

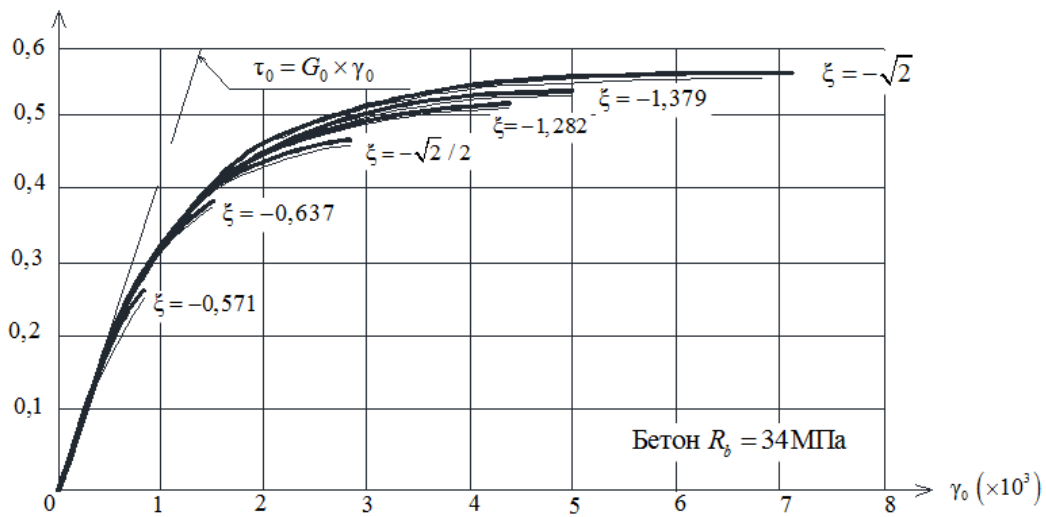
$$\bar{\gamma}_0 = \frac{\gamma_{0c}}{f(\xi)}. \quad (21)$$

Теоретические кривые $\sigma_0 - \varepsilon_0$ и $\tau_0 - \gamma_0$, полученные по предложенному выше подходу, в сравнении с результатами экспериментальных исследований Х. Купфера приведены на рис. 3, 4.



— теоретические зависимости; — экспериментальные кривые

Рис. 3. Теоретические и экспериментальные зависимости $\sigma_0 - \varepsilon_0$



— теоретические зависимости; — экспериментальные кривые

Рис. 4. Теоретические и экспериментальные зависимости $\tau_0 - \gamma_0$

Анализируя представленные экспериментальные и теоретические зависимости $\sigma_0 - \varepsilon_0$ и $\tau_0 - \gamma_0$, можно отметить их хорошее соответствие.

3 Построение регулярной кривой предельной прочности бетона в плоском напряжённом состоянии

В качестве уравнений, аппроксимирующих функцию $f(\xi)$ в разных зонах плоского напряженного состояния, примем зависимость вида

$$f_i(\xi) = a_i \xi^2 + b_i \xi + c_i \quad (22)$$

Неизвестные коэффициенты a_i, b_i, c_i , входящие в уравнение (22), определяются из условия непрерывности и регулярности предельной кривой прочности в плоском напряжённом состоянии в точках $\xi = -\sqrt{2}$, $\xi = -\sqrt{2}/2$, $\xi = \sqrt{2}/2$.

Тогда для зоны $-\sqrt{2} \leq \xi \leq -\sqrt{2}/2$ имеем

$$f_1(\xi) = 2(1 - \tilde{R}_{2c}^{-1})(\xi + \sqrt{2})^2 + \tilde{R}_{2c}^{-1}, \quad (23)$$

$$a_1 = 2(1 - \tilde{R}_{2c}^{-1}),$$

$$b_1 = 4\sqrt{2}(1 - \tilde{R}_{2c}^{-1}),$$

$$c_1 = 4 - 3\tilde{R}_{2c}^{-1},$$

где $\tilde{R}_{2c} = R_{2c} / R_b$ (R_{2c} – прочность бетона при равномерном двухосном сжатии, а R_b – призмная прочность бетона).

Для зоны $-\sqrt{2}/2 \leq \xi \leq -\sqrt{3}/3$ имеем

$$a_2 = \frac{b_2}{\sqrt{2}} - 2(1 - \tilde{R}_{2c}^{-1}),$$

$$b_2 = \frac{2(6 - \chi^{-1} - \tilde{R}_{2c}^{-1})}{4 - 3\sqrt{2}},$$

$$c_2 = \frac{b_2 \sqrt{2}}{4} - (2 - \tilde{R}_{2c}^{-1}).$$

Для зоны $-\sqrt{3}/3 \leq \xi \leq \sqrt{2}$ имеем

$$a_3 = \frac{(4\sqrt{3} - 7\sqrt{2})d_1 - d_2(4\sqrt{3} + 11\sqrt{2} - 24)}{(4 - 3\sqrt{2})(5 + 2\sqrt{6})},$$

$$b_3 = \frac{2(5 - 2\sqrt{6})d_1 - 2d_2(5 - 8\sqrt{3} + 4\sqrt{6})}{(4 - 3\sqrt{2})(5 + 2\sqrt{6})},$$

$$c_3 = \frac{1}{\chi} - \frac{(3\sqrt{2} - 4\sqrt{3})d_1 - d_2(20\sqrt{3} + 21\sqrt{2} - 16\sqrt{6} - 24)}{2 \times (4 - 3\sqrt{2})(5 + 2\sqrt{6})} - d_3,$$

где $d_1 = 5 - 2\tilde{R}_{2c}^{-1}$, $d_2 = 1 - \chi^{-1}$, $d_3 = 1 - \tilde{R}_{2c}^{-1}$, $\chi = R_p / R_b$, R_p – прочность бетона при одноосном растяжении.

Предложенный подход проверен на экспериментальных результатах для бетонов с широким диапазоном призмной прочности, в том числе и в плоском напряжённом состоянии. Это позволяет сделать вывод о возможности его применения в построении основных физических соотношений модифицированных бетонов высокой прочности. Для этой цели достаточно иметь опытные данные испытаний образцов при одноосном сжатии и одноосном растяжении.

4 Построение основных физических соотношений для модифицированных бетонов

Построение основных физических соотношений выполнено для трёх составов высокопрочных модифицированных бетонов нового поколения, разработанных в [7]. Данные бетоны требуют значительно меньшего расхода цемента на единицу призмочной прочности (в пределах 2,5–4,5 кг/МПа), обладают высокими показателями воздухопроницаемости и морозостойкости; их основные характеристики приведены ниже (таблица). Эти характеристики обеспечиваются порошковой активацией бетонной смеси, позволяющей усилить действие супер- и гиперпластификаторов в бетоне, а также тщательным подбором гранулометрического состава композита.

Механические характеристики высокопрочных модифицированных бетонов

Состав	Добавка-наполнитель	R_b , МПа	R_{bt} , МПа	μ_0
Состав 1	Халцедон	117,50	5,26	0,19
Состав 2	Молотый шлак	110,00	5,41	0,24
Состав 3	Микроволастонит 30-97	114,20	5,64	0,24

Расчёт физических соотношений проведён для случая одноосного и равномерного двухосного сжатия. Результаты расчётов сопоставлены с опытными данными, полученными по результатам экспериментов авторами бетонных составов.

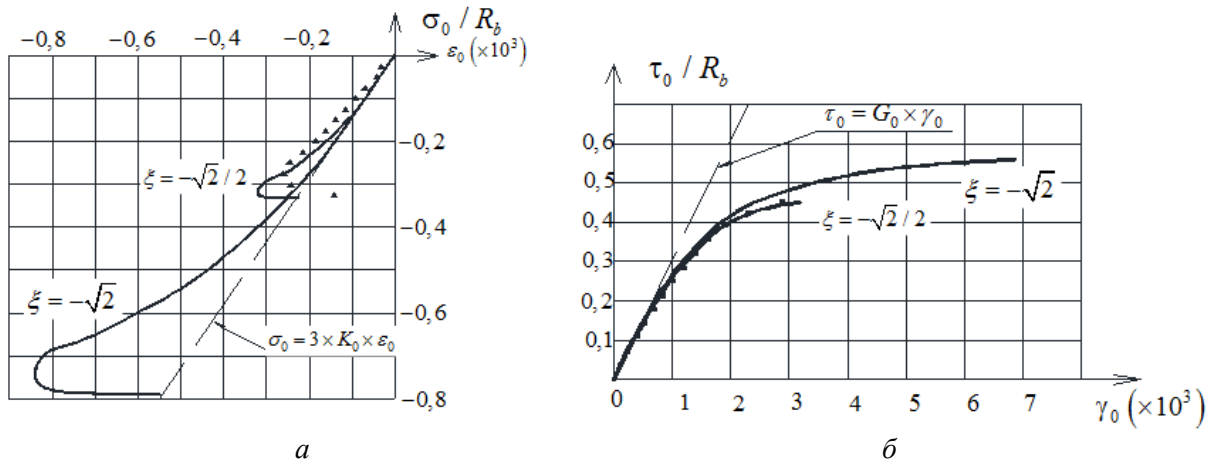


Рис. 5. Зависимости $\sigma_0 - \varepsilon_0$ и $\tau_0 - \gamma_0$ для модифицированного бетона (состав 1):

a – зависимость $\sigma_0 - \varepsilon_0$; b – зависимость $\tau_0 - \gamma_0$; ■, ▲ – опытные точки

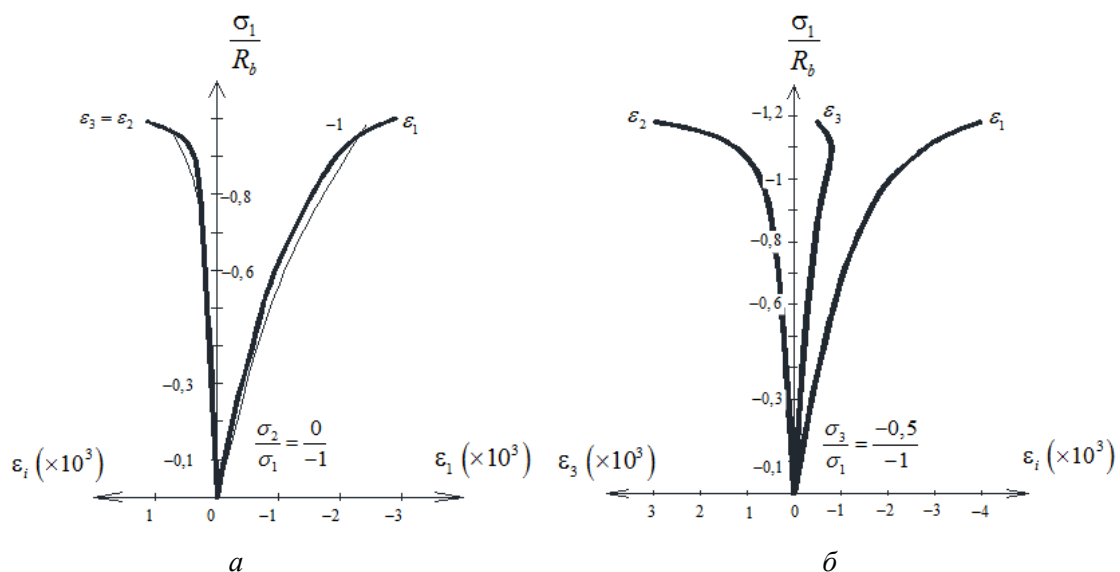


Рис. 6. Зависимости $\sigma - \varepsilon$ для модифицированного бетона (состав 1):

a – одноосное сжатие; b – двухосное неравномерное сжатие;

— — теоретические зависимости; - - - - экспериментальные кривые

Анализируя полученные результаты (рис. 5, 6), можно отметить хорошее совпадение опытных данных и теоретических построений, а также высокую степень корреляции с результатами проф. В.М. Круглова в [3]. По итогам расчётов кривые зависимостей для модифицированных бетонов второго и третьего составов подобны изображённым на рис. 5, 6.

Выводы

В статье предложен новый подход к построению основных физических соотношений, основанный на инвариантном решении задач механики деформируемого твёрдого тела для бетона, находящегося в плоском напряжённом состоянии. Показано соответствие предлагаемых зависимостей реальному напряжённому и деформированному состоянию материала. Кроме того, показан способ построения критерия прочности для бетона, находящегося в плоском напряжённом состоянии, позволяющий получить регулярную кривую предельной прочности.

Продемонстрирована возможность использования предлагаемого подхода для построения основных физических соотношений для высокопрочных тяжёлых бетонов широкого класса.

Библиографический список

- 1 **Безухов, Н.И.** Основы теории упругости, пластичности и ползучести / Н.И. Безухов. – М., 1982. – 448 с.
- 2 **Новожилов, В.В.** Пути развития теории деформирования поликристаллов / В.В. Новожилов // Нелинейные модели и задачи механики деформируемого твёрдого тела. – М., 1984. – С. 11–24.
- 3 **Карпенко, Н.И.** Нелинейное деформирование бетона и железобетона / Н.И. Карпенко, В.М. Круглов, Л.Ю. Соловьёв. – Новосибирск : Изд-во СГУПС, 2001. – 276 с.
- 4 **Берг, О.Я.** Высокопрочный бетон / О.Я. Берг, Е.Н. Щербаков, Г.Н. Писанко. – М., 1971. – 209 с.
- 5 **Яшин, А.В.** Критерии прочности и деформирования бетона при простом нагружении для различных видов напряжённого состояния / А.В. Яшин // Расчет и конструирование железобетонных конструкций. – М., 1977. – С. 48–57.
- 6 **Kupfer, H.B.** Das Nicht-linear Verhalten des Betons bei Zweiachsiger Beanspruchung / H.B. Kupfer // Beton und Stahlbetonbau. – 1973. – № 11. – P. 269–274.
- 7 **Хвастунов, А.В.** Порошково-активированный высокопрочный бетон и фибробетон с низким удельным расходом цемента на единицу прочности : дис. ... канд. техн. наук / А.В. Хвастунов. – Пенза, 2011. – С. 111–132.

Bibliography

- 1 **Bezuhov, N.I.** The fundamentals of the theory of elasticity, plasticity and creeping / N.I. Bezuhov. – Moscow, 1968. – 512 p.
- 2 **Novozilov, V.V.** The development of the theory of polycrystal deformation / V.V. Novozilov // The nonlinear models and sums of the deformable hard solid mechanics. – Moscow, 1984. – P. 11–24.
- 3 **Kruglov, V.M.** Nonlinear deformation of concrete and reinforced concrete / N.I. Karpenko, V.M. Kruglov, L.Y. Solovyov. – Novosibirsk : Publishing House of Siberian Transport University, 2001. – P. 31–76.
- 4 **Berg, O.Y.** The high-strength concrete / O.Y. Berg, E.N. Scherbakov, G.N. Pisanko. – Moscow, 1971. – 208 p.
- 5 **Yaschin, A.V.** The concrete strength and deformation criterion due to simple loading for different stress-state / A.V. Yaschin // The estimation and construction of ferroconcrete items. – Moscow, 1977. – P. 48–57.
- 6 **Kupfer, H.B.** Nonlinear behavior of concrete under biaxial loadings / H.B. Kupfer // Concrete and reinforced concrete structures. – 1973. – № 11. – P. 269–274.
- 7 **Hvastunov, A.V.** Powder-activated high-strength concrete and fibrous concrete with low specific consumption of cement per unit of strength : dis. ... Candidate of Technical Sciences / A.V. Hvastunov. – Penza, 2011. – P. 111–132.